

Kalisz, 23–24.10.2025

Innovations and Industrial Technologies 2025

Characterization of Spectrometer Burn Marks in Steel Alloys

Adrian Dera¹⁾, Szymon Witczak¹⁾

¹⁾ Polytechnic Faculty, President Stanislaw Wojciechowski University of Kalisz

CONCLUSIONS

The aim of this study was to characterize spark spectrometer burn marks on steel samples and to determine the influence of alloying elements, particularly carbon, on the size, depth, and surface morphology of the burned areas. Seven iron-based steel reference samples were used in the research (designations: RG 13/411, RH 12/21, RN 13/74, RG 14/531, RH 18/46, RN 14/51, RH 31/31). The spark burns were performed using a Metal Lab Plus spectrometer by G.N.R., while surface topography analysis was carried out with aNanoscan 855 microscope by Jenoptic. A total of 35 burn areas were analyzed. The obtained data were statistically processed using the Pearson correlation coefficient to identify strong relationships between chemical composition and topographic parameters.

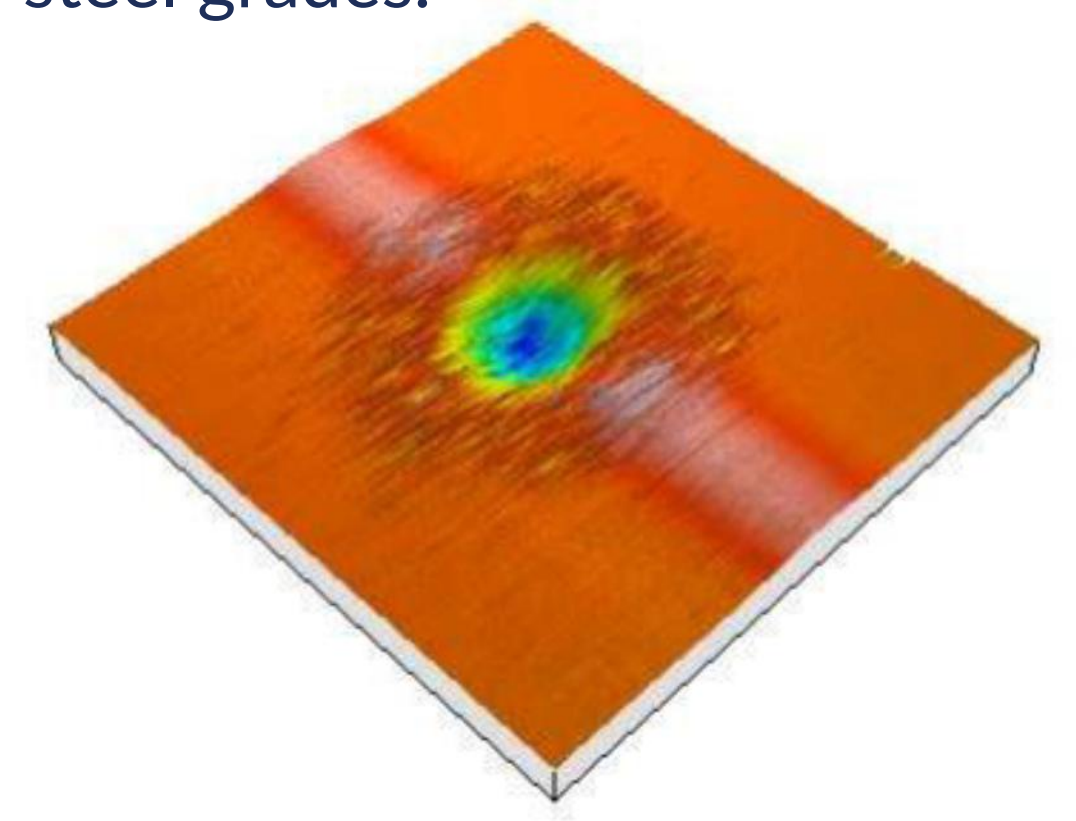
ABSTRACT

The results showed that elements such as molybdenum, niobium, antimony, cobalt, and vanadium exhibit a positive correlation with burn peak volume, while nickel, chromium, and cerium show a negative correlation. The volume of craters increased with higher content of lead, carbon, calcium, and manganese, but decreased with the presence of zinc, chromium, and nickel. Maximum burn depth increased with arsenic, magnesium, manganese, molybdenum, and niobium, while higher chromium and nickel content reduced it. Furthermore, molybdenum, nickel, and manganese were found to significantly affect the peak height and geometry of the burn marks.

In summary, the analysis confirmed strong correlations between the chemical composition of steel alloys and the parameters of spark burns. These findings can be applied to further optimize spectrometric analysis methods and to better understand the surface behavior and properties of iron-based alloys.

OBJECTIVES

The objective of this study was to investigate and characterize the morphology and parameters of spark burns generated by an optical emission spectrometer on steel alloy samples. The research aimed to determine the relationship between the chemical composition of iron-based alloys—particularly the carbon and alloying element content—and the resulting burn area dimensions, depth, and surface features. By analyzing the correlation between specific elemental concentrations and topographical parameters of the burn marks, the study sought to identify which elements most significantly influence the burn characteristics during spectrometric excitation. The ultimate goal was to enhance the understanding of the physical effects occurring during spark emission analysis and to support the optimization of spectrometric calibration and material characterization procedures for various steel grades.



Example image of the surface topography of the burned area

conducted the experiments and statistical analysis, several significant correlations were identified between the chemical composition of steel alloys and the parameters of spark burns generated during optical emission spectrometry. Elements such as molybdenum, niobium, antimony, cobalt, vanadium exhibited a positive correlation with burn peak volume, while nickel, chromium, and cerium showed a negative correlation. The maximum burn depth increased with higher concentrations of arsenic, magnesium, manganese, molybdenum, and niobium, and decreased with greater amounts of chromium, nickel, copper, and zinc. Manganese appeared most frequently in strong or very strong correlations with grain area although clear parameters, dependencies were not always evident. Overall, the results confirmed that specific alloying elements significantly affect burn morphology and energy distribution, offering insights for refining spectrometric calibration and improving analytical precision in steel characterization.

SiH1	W (1 1 5										
Probleta Otworr Pik	Wspó	łczynnik Pearsona						2			
Profobla Ottworr Pik		Powierzebnia		Objetność		May głobo/wysok					
probaba Otwór Pik Otwór Pik Otwór Pik Otwór Pik Ziarr Cotwór Pik Otwór Pik Ziarr Cotwór Pik Otyór Pik Cotwór Cotwór Region Cotwór Region Cotwór Region Cotwór Pik Cotwór Pik Octwór Pik		Powier	ZCHIHA	Objęt	.nosc	iviax gięi	JO/ WYSOK	giębo	wysok		
C#1 -0,3839 0,7629 -0,2055 0,6542 0,3190 0,6065 0,1514 0,1879 -0,586 Si#1 0,8389 0,8234 0,6975 -0,7914 0,1037 -0,6369 0,2529 -0,5866 -0,5866 0,6747 -0,6565 -0,6674 -0,008 Mn#40 0,1124 -0,3727 0,3295 -0,4070 0,5549 -0,6747 0,5655 -0,3464 0,44 Mn#40 0,7197 0,0687 0,5757 0,0337 0,1403 0,9184 -0,9844 0,769 Mn#5 0,2229 0,3940 0,0893 0,5572 0,0895 0,5594 0,1436 0,0615 -0,4 P#2 -0,1256 0,6574 0,0989 0,5769 0,1566 0,6217 0,0240 0,1752 -0,7 Cr#1 0,3443 0,1227 -0,0151 0,2144 -0,6299 0,8894 -0,7 Cr#13 0,4266 0,6574 0,0989 0,5576 0,1889 0,6505 0,4273 -0	Dadhla	Ob.u.f.	D:L	04	n:I.	Obf-	D:I.	04	D:L		
SiH1											
SiH3		-			-					-0,5041	
Mn#10 0,1124 -0,3727 0,3295 -0,4070 0,5549 -0,6747 0,5655 -0,3464 0,4										0,5177	
Mn#H						-				-0,0460	
Mn#6					-	-	-		-	0,4223	
Mn#5										-0,4004	
P#2						-	-			0,7981	
S#1				-						-0,4760	
Сг#1 0,3443 0,1227 -0,0151 0,2144 -0,6299 0,2879 -0,6005 0,4273 -0,5 Сг#9 0,63639 0,1255 0,05875 0,0288 -0,4830 0,1417 -0,7433 0,4382 -0,5 Ст#2 0,1569 0,5179 0,1387 0,5654 -0,5289 0,6050 -0,5819 0,5753 -0,8 Мо#1 -0,3660 -0,0059 -0,6181 0,1427 -0,9128 0,1807 -0,8361 0,5845 -0,1 Мо#2 0,1888 -0,4543 0,22285 -0,4798 0,1560 -0,1849 0,2429 -0,5523 0,5 Мо#3 0,8657 -0,2782 0,6536 -0,2661 0,0517 -0,2142 -0,6804 -0,5661 0,0517 -0,2142 -0,6804 -0,5661 -0,6239 -0,560 -0,5801 -0,2244 -0,5 Ni#3 0,6805 -0,1408 0,5621 -0,2112 0,3312 0,6688 -0,9017 0,8 Ni#3 0,6806			_		-	-			-	-0,2421	
Cr#13 0,6084 0,0610 0,3165 0,0980 -0,2741 0,1772 -0,2622 0,1528 -0,4 Cr#9 0,3639 0,1255 0,0575 0,2085 -0,4830 0,1417 -0,4733 0,4382 -0,5 Cr#2 0,1569 0,5179 -0,1387 0,5654 -0,5289 0,6050 -0,5819 0,5753 -0,8 Mo#1 -0,3660 0,0059 -0,6181 0,1427 -0,9128 0,1807 -0,8816 0,5845 -0,1 Mo#3 0,8655 -0,2575 0,7115 0,2722 0,2878 0,3509 0,3052 -0,2574 -0,1 Mi#3 0,8655 0,2782 0,6536 0,6661 0,0517 -0,2142 0,0983 -0,2991 -0,1 Ni#3 0,3610 0,2022 0,2310 0,2164 -0,0246 0,0218 0,0720 0,644 -0,5 Ni#3 0,6086 0,1408 0,5621 0,2112 0,3122 0,0600 0,6888 0,9017 0,8 <td></td> <td></td> <td></td> <td>-</td> <td>-</td> <td></td> <td></td> <td></td> <td></td> <td>-0,7090</td>				-	-					-0,7090	
Ст#9 0,3639 0,1255 0,0575 0,2085 -0,4830 0,1417 -0,4733 0,4382 -0,5 Ст#2 0,1569 0,5179 -0,1387 0,5564 -0,5289 0,6000 -0,5819 0,5753 -0,8 Мо#1 -0,3660 0,0059 -0,6181 0,1427 -0,9128 0,1807 -0,8361 0,5845 -0,1 Мо#4 0,8167 -0,2575 0,7115 0,2722 0,2878 -0,3509 0,3052 -0,2574 -0,1 Мо#3 0,8655 -0,2782 0,6536 -0,2661 0,0517 0,2142 0,9083 -0,2091 -0,1 Ni#3 -0,1242 -0,6804 -0,0564 -0,6263 -0,5849 -0,5861 -0,0214 -0,0220 0,2310 0,2164 -0,0221 0,2310 0,2164 -0,0218 -0,0700 0,688 -0,9117 0,0 Ni#3 0,6806 -0,1408 0,5621 0,2112 0,3122 0,6360 0,3256 0,4917 0,0					-					-0,5463	
Сг#2 0,1569 0,5179 -0,1387 0,5654 -0,5289 0,6050 -0,5819 0,5753 -0,8 Мо#1 -0,3660 0,0059 -0,6181 0,1427 -0,9128 0,1807 -0,8361 0,5845 -0,1 Мо#2 0,1888 0,4543 0,2285 0,4798 0,1560 -0,1849 0,2429 -0,5523 0,5 Мо#3 0,86167 -0,2752 0,6536 0,2610 0,0517 -0,2142 0,0983 -0,2091 -0,1 Ni#13 -0,1242 -0,6804 -0,0564 -0,6239 -0,0562 -0,5949 0,0766 -0,3112 0,8 Ni#2 0,3610 0,2022 0,2310 0,2164 -0,0246 0,0218 -0,7020 0,6644 -0,5 Ni#3 0,6086 -0,1408 0,5621 -0,2112 0,3122 0,6638 -0,9017 0,8 Al#6 -0,5801 0,8432 -0,4507 0,7622 0,0659 0,7822 -0,431 0,4311 -0,431 <t< td=""><td></td><td></td><td>-</td><td></td><td>,</td><td>-</td><td></td><td></td><td></td><td>-0,4946</td></t<>			-		,	-				-0,4946	
Mo#1			-		-				-	-0,5737	
Mo#2						-		-		-0,8439	
Mo#4							- '		-	-0,1122	
Mo#3			-	-				-		0,5910	
Ni#13				-		-				-0,1310	
Ni#2			-		-	-	-			-0,1641	
Ni#4			,			-	-			0,8085	
Ni#3			-	-		-	_			-0,5412	
Ai#S		-	-	-	-	-			-	0,8832	
Al#6										0,0506	
As#1 0,4323 -0,5306 0,5703 -0,5562 0,5612 -0,7866 0,6013 -0,4555 0,4 B#1 0,0473 0,5508 0,1949 0,4316 0,5184 0,3451 0,3705 -0,0187 -0,4 Co#1 0,4142 0,0515 0,1329 0,1293 -0,3973 0,0330 -0,3824 0,3676 -0,5 Co#2 0,7497 -0,0945 0,5834 -0,0957 0,1159 -0,1489 0,1182 -0,0827 -0,3 Cu#1 0,2971 -0,0700 -0,0380 0,0518 -0,6441 0,0102 -0,5837 0,4336 -0,3 Cu#2 0,0574 0,0893 -0,3027 0,2115 -0,8505 0,3493 -0,7229 0,5107 -0,3 Cu#6 -0,1726 -0,1107 0,0757 -0,2063 0,4831 -0,3000 0,4756 -0,5161 0,4 Cu#5 -0,4863 -0,2043 -0,2381 0,2362 -0,1899 0,2601 -0,2949 0,6		-	-		-	-		-	-	-0,3252	
B#1 0,0473 0,5508 0,1949 0,4316 0,5184 0,3451 0,3705 -0,0187 -0,4 Co#1 0,4142 0,0515 0,1329 0,1293 -0,3973 0,0330 -0,3824 0,3676 -0,5 Co#2 0,7497 -0,0945 0,5834 -0,0957 0,1159 -0,1489 0,1182 -0,0827 -0,3 Cu#1 0,2971 -0,0700 -0,0380 0,0518 -0,6441 0,0102 -0,5837 0,4336 -0,3 Cu#2 0,0574 0,0893 -0,3027 0,2115 -0,8505 0,3493 -0,7929 0,5107 -0,3 Cu#6 -0,1726 -0,1107 0,0757 -0,2063 0,4831 -0,0300 0,4756 -0,5161 0,4 Cu#5 -0,4863 -0,2043 -0,2349 -0,2381 0,2362 -0,1899 0,2601 -0,2949 0,6 Nb#1 -0,0486 0,2142 -0,0906 0,1775 -0,0938 0,4865 -0,1095 -0,7773 <						-				-0,5400	
Co#1 0,4142 0,0515 0,1329 0,1293 -0,3973 0,0330 -0,3824 0,3676 -0,5 Co#2 0,7497 -0,0945 0,5834 -0,0957 0,1159 -0,1489 0,1182 -0,0827 -0,3 Cu#1 0,2971 -0,0700 -0,0380 0,0518 -0,6441 0,0102 -0,5837 0,4336 -0,3 Cu#2 0,0574 0,0893 -0,3027 0,2115 -0,8505 0,3493 -0,7929 0,5107 -0,3 Cu#6 -0,1726 -0,1107 0,0757 -0,2063 0,4831 -0,3000 0,4756 -0,5161 0,4 Cu#5 -0,4863 -0,2043 -0,2349 -0,2381 0,2362 -0,1899 0,2601 -0,2949 0,6 Nb#1 -0,0486 0,2142 -0,0906 0,1775 -0,0938 0,4865 -0,1095 -0,0733 -0,0 Nb#2 -0,0365 0,6469 -0,1206 0,6554 -0,2446 0,5249 -0,3524 0,5770						-				0,4257	
Co#2 0,7497 -0,0945 0,5834 -0,0957 0,1159 -0,1489 0,1182 -0,0827 -0,3 Cu#1 0,2971 -0,0700 -0,0380 0,0518 -0,6441 0,0102 -0,5837 0,4336 -0,3 Cu#2 0,0574 0,0893 -0,3027 0,2115 -0,8505 0,3493 -0,7929 0,5107 -0,3 Cu#6 -0,1726 -0,1107 0,0757 -0,2063 0,4831 -0,0300 0,4756 -0,5161 0,4 Cu#5 -0,4863 -0,2043 -0,2349 -0,2381 0,2362 -0,1899 0,2601 -0,2949 0,6 Nb#1 -0,0486 0,2142 -0,0906 0,1775 -0,0938 0,4865 -0,1095 -0,0733 -0,0 Nb#2 -0,0365 0,6469 -0,1206 0,6554 -0,2446 0,5249 -0,3524 0,5770 -0,8 Pb#2 -0,1253 0,1568 -0,0842 0,1017 0,0484 0,3945 0,0315 -0,1842		-		-		-		-	-	-0,4705	
Cu#1 0,2971 -0,0700 -0,0380 0,0518 -0,6441 0,0102 -0,5837 0,4336 -0,3 Cu#2 0,0574 0,0893 -0,3027 0,2115 -0,8505 0,3493 -0,7229 0,5107 -0,3 Cu#6 -0,1726 -0,1107 0,0757 -0,2063 0,4831 -0,0300 0,4756 -0,5161 0,4 Cu#5 -0,4863 -0,2043 -0,2381 0,2362 -0,1899 0,2601 -0,2949 0,6 Nb#1 -0,0486 0,2142 -0,0906 0,1775 -0,0938 0,4865 -0,1095 -0,0733 -0,0 Nb#2 -0,0365 0,6469 -0,1206 0,6554 -0,2446 0,5249 -0,3524 0,5770 -0,8 Pb#2 -0,1253 0,1568 -0,0842 0,1017 0,0484 0,3945 0,0315 -0,1842 0,0 Sn#1 -0,2828 0,8395 -0,2244 0,7722 0,1033 0,6407 -0,0664 0,4354 -0,7									-	-0,5043	
Cu#2 0,0574 0,0893 -0,3027 0,2115 -0,8505 0,3493 -0,7929 0,5107 -0,3 Cu#6 -0,1726 -0,1107 0,0757 -0,2063 0,4831 -0,0300 0,4756 -0,5161 0,4 Cu#5 -0,4863 -0,2043 -0,2349 -0,2381 0,2362 -0,1899 0,2601 -0,2949 0,6 Nb#1 -0,0486 0,2142 -0,0906 0,1775 -0,0938 0,4865 -0,1095 -0,0733 -0,0 Nb#2 0,0365 0,6469 -0,1206 0,6554 -0,2446 0,5249 -0,3524 0,5770 -0,8 Pb#2 -0,1253 0,1568 -0,0842 0,1017 0,0484 0,3945 0,0315 -0,1842 0,0 Sn#1 -0,2828 0,8395 -0,2244 0,7722 0,1033 0,6407 -0,0664 0,4354 -0,7 Ti#1 -0,6784 0,5753 -0,4378 0,5162 0,2165 0,2963 0,0839 0,3008 <					-	-				-0,3232	
Cu#6 -0,1726 -0,1107 0,0757 -0,2063 0,4831 -0,0300 0,4756 -0,5161 0,4 Cu#5 -0,4863 -0,2043 -0,2349 -0,2381 0,2362 -0,1899 0,2601 -0,2949 0,6 Nb#1 -0,0486 0,2142 -0,0906 0,1775 -0,0938 0,4865 -0,1095 -0,0733 -0,0 Nb#2 0,0365 0,6469 -0,1206 0,6554 -0,2446 0,5249 -0,3524 0,5770 -0,8 Pb#2 -0,1253 0,1568 -0,0842 0,1017 0,0484 0,3945 0,0315 -0,1842 0,0 Sn#1 -0,2828 0,8395 -0,2244 0,7722 0,1033 0,6407 -0,6644 0,4354 -0,7 Ti#1 -0,6347 0,5989 -0,3983 0,5339 0,2432 0,3127 0,1039 0,2950 -0,2 V#1 0,5031 0,2408 0,2841 0,2276 -0,1297 0,4046 -0,1569 0,0659 <td< td=""><td></td><td></td><td></td><td></td><td></td><td>-</td><td></td><td></td><td></td><td>-0,3710</td></td<>						-				-0,3710	
Cu#5 -0,4863 -0,2043 -0,2349 -0,2381 0,2362 -0,1899 0,2601 -0,2949 0,6 Nb#1 -0,0486 0,2142 -0,0906 0,1775 -0,0938 0,4865 -0,1095 -0,0733 -0,0 Nb#2 0,0365 0,6469 -0,1206 0,6554 -0,2446 0,5249 -0,3524 0,5770 -0,8 Pb#2 -0,1253 0,1568 -0,0842 0,1017 0,0484 0,3945 0,0315 -0,1842 0,0 Sn#1 -0,2828 0,8395 -0,2244 0,7722 0,1033 0,6407 -0,0664 0,4354 -0,7 Ti#1 -0,6784 0,5753 -0,4378 0,5162 0,2165 0,2963 0,0839 0,3008 -0,2 V#1 -0,5031 0,2408 0,2841 0,2276 -0,1297 0,4046 -0,1569 0,0659 -0,5 W#1 -0,5237 0,5538 -0,2858 0,4467 0,3262 0,5010 0,2028 0,0037 -									-	-0,3935	
Nb#1			-	-						0,4986	
Nb#2										0,6272	
Pb#2 -0,1253 0,1568 -0,0842 0,1017 0,0484 0,3945 0,0315 -0,1842 0,0 Sn#1 -0,2828 0,8395 -0,2244 0,7722 0,1033 0,6407 -0,0664 0,4354 -0,7 Ti#1 -0,6784 0,5753 -0,4378 0,5162 0,2165 0,2963 0,0839 0,3008 -0,2 Ti#2 -0,6347 0,5989 -0,3983 0,5339 0,2432 0,3127 0,1039 0,2950 -0,2 W#1 0,5031 0,2408 0,2841 0,2276 -0,1297 0,4046 -0,1569 0,0659 -0,5 W#1 -0,5237 0,5538 -0,2858 0,4467 0,3262 0,5010 0,2028 0,0037 -0,1 W#16 -0,3906 -0,3202 -0,1162 -0,3586 0,3418 -0,3445 0,3767 -0,3955 0,7 W#2 -0,0769 0,3645 -0,3805 0,4398 -0,7506 0,6487 -0,7476 0,5203 -0,5<	_						-			-0,0874	
Sn#1 -0,2828 0,8395 -0,2244 0,7722 0,1033 0,6407 -0,0664 0,4354 -0,7 Ti#1 -0,6784 0,5753 -0,4378 0,5162 0,2165 0,2963 0,0839 0,3008 -0,2 Ti#2 -0,6347 0,5989 -0,3983 0,5339 0,2432 0,3127 0,1039 0,2950 -0,2 V#1 0,5031 0,2408 0,2841 0,2276 -0,1297 0,4046 -0,1569 0,0659 -0,5 W#1 -0,5237 0,5538 -0,2858 0,4467 0,3262 0,5010 0,2028 0,0037 -0,1 W#16 -0,3906 -0,3202 -0,1162 -0,3586 0,3418 -0,3445 0,3767 -0,3955 0,7 W#2 -0,0769 0,3645 -0,3805 0,4398 -0,7506 0,6487 -0,7476 0,5203 -0,5 Zr#1 0,6009 0,2074 0,3978 0,1948 -0,0256 0,2425 -0,0621 0,0797 -0,5<										-0,8873	
Ti#1										0,0678	
Ti#2 -0,6347 0,5989 -0,3983 0,5339 0,2432 0,3127 0,1039 0,2950 -0,2 V#1 0,5031 0,2408 0,2841 0,2276 -0,1297 0,4046 -0,1569 0,0659 -0,5 W#1 -0,5237 0,5538 -0,2858 0,4467 0,3262 0,5010 0,2028 0,0037 -0,1 W#16 -0,3906 -0,3202 -0,1162 -0,3586 0,3418 -0,3445 0,3767 -0,3955 0,7 W#2 -0,0769 0,3645 -0,3805 0,4398 -0,7506 0,6487 -0,7476 0,5203 -0,5 Zr#1 0,6009 0,2074 0,3978 0,1948 -0,0256 0,2425 -0,0621 0,0797 -0,5 Sb#2 -0,8805 0,8926 -0,9136 0,9272 -0,5626 0,8230 -0,6856 0,8898 -0,7 Te#2 -0,4661 0,3820 -0,7178 0,4866 -0,9062 0,6367 -0,8956 0,6794 -0	Sn#1				1			-0,0664		-0,7732	
V#1 0,5031 0,2408 0,2841 0,2276 -0,1297 0,4046 -0,1569 0,0659 -0,5 W#1 -0,5237 0,5538 -0,2858 0,4467 0,3262 0,5010 0,2028 0,0037 -0,1 W#16 -0,3906 -0,3202 -0,1162 -0,3586 0,3418 -0,3445 0,3767 -0,3955 0,7 W#2 -0,0769 0,3645 -0,3805 0,4398 -0,7506 0,6487 -0,7476 0,5203 -0,5 Zr#1 0,6009 0,2074 0,3978 0,1948 -0,0256 0,2425 -0,0621 0,0797 -0,5 Ca#1 0,1031 0,2765 0,0323 0,2972 -0,0530 0,0259 -0,1150 0,3789 -0,5 Sb#2 -0,8805 0,8926 -0,9136 0,9272 -0,5626 0,8230 -0,6856 0,8898 -0,7 Te#2 -0,4661 0,3820 -0,7178 0,4866 -0,9062 0,6367 -0,8956 0,6794 -0										-0,2504	
W#1 -0,5237 0,5538 -0,2858 0,4467 0,3262 0,5010 0,2028 0,0037 -0,1 W#16 -0,3906 -0,3202 -0,1162 -0,3586 0,3418 -0,3445 0,3767 -0,3955 0,7 W#2 -0,0769 0,3645 -0,3805 0,4398 -0,7506 0,6487 -0,7476 0,5203 -0,5 Zr#1 0,6009 0,2074 0,3978 0,1948 -0,0256 0,2425 -0,0621 0,0797 -0,5 Ca#1 0,1031 0,2765 0,0323 0,2972 -0,0530 0,0259 -0,1150 0,3789 -0,5 Sb#2 -0,8805 0,8926 -0,9136 0,9272 -0,5626 0,8230 -0,6856 0,8898 -0,7 Te#2 -0,4661 0,3820 -0,7178 0,4866 -0,9062 0,6367 -0,8956 0,6794 -0,4 Ce#3 -0,0661 0,0066 0,1514 -0,0434 0,4981 -0,3485 0,4417 -0,0968 <td< td=""><td>Ti#2</td><td>-0,6347</td><td>0,5989</td><td></td><td></td><td></td><td></td><td></td><td></td><td>-0,2922</td></td<>	Ti#2	-0,6347	0,5989							-0,2922	
W#16 -0,3906 -0,3202 -0,1162 -0,3586 0,3418 -0,3445 0,3767 -0,3955 0,7 W#2 -0,0769 0,3645 -0,3805 0,4398 -0,7506 0,6487 -0,7476 0,5203 -0,5 Zr#1 0,6009 0,2074 0,3978 0,1948 -0,0256 0,2425 -0,0621 0,0797 -0,5 Ca#1 0,1031 0,2765 0,0323 0,2972 -0,0530 0,0259 -0,1150 0,3789 -0,5 Sb#2 -0,8805 0,8926 -0,9136 0,9272 -0,5626 0,8230 -0,6856 0,8898 -0,7 Te#2 -0,4661 0,3820 -0,7178 0,4866 -0,9062 0,6367 -0,8956 0,6794 -0,4 Ce#3 -0,0661 0,0066 0,1514 -0,0434 0,4981 -0,3485 0,4417 -0,0968 0,0 La#1 -0,7779 0,1190 -0,5680 0,1088 -0,0225 0,1059 -0,0396 0,0750 <										-0,5235	
W#2 -0,0769 0,3645 -0,3805 0,4398 -0,7506 0,6487 -0,7476 0,5203 -0,5 Zr#1 0,6009 0,2074 0,3978 0,1948 -0,0256 0,2425 -0,0621 0,0797 -0,5 Ca#1 0,1031 0,2765 0,0323 0,2972 -0,0530 0,0259 -0,1150 0,3789 -0,5 Sb#2 -0,8805 0,8926 -0,9136 0,9272 -0,5626 0,8230 -0,6856 0,8898 -0,7 Te#2 -0,4661 0,3820 -0,7178 0,4866 -0,9062 0,6367 -0,8956 0,6794 -0,4 Ce#3 -0,0661 0,0066 0,1514 -0,0434 0,4981 -0,3485 0,4417 -0,0968 0,0 La#1 -0,7779 0,1190 -0,5680 0,1088 -0,0225 0,1059 -0,0396 0,0750 0,3 Mg#2 -0,3635 0,0630 -0,0372 -0,0472 0,5711 0,0027 0,5186 -0,3941 <td< td=""><td>W#1</td><td>-0,5237</td><td>0,5538</td><td></td><td></td><td>0,3262</td><td></td><td>0,2028</td><td></td><td>-0,1396</td></td<>	W#1	-0,5237	0,5538			0,3262		0,2028		-0,1396	
Zr#1 0,6009 0,2074 0,3978 0,1948 -0,0256 0,2425 -0,0621 0,0797 -0,5 Ca#1 0,1031 0,2765 0,0323 0,2972 -0,0530 0,0259 -0,1150 0,3789 -0,5 Sb#2 -0,8805 0,8926 -0,9136 0,9272 -0,5626 0,8230 -0,6856 0,8898 -0,7 Te#2 -0,4661 0,3820 -0,7178 0,4866 -0,9062 0,6367 -0,8956 0,6794 -0,4 Ce#3 -0,0661 0,0066 0,1514 -0,0434 0,4981 -0,3485 0,4417 -0,0968 0,0 La#1 -0,7779 0,1190 -0,5680 0,1088 -0,0225 0,1059 -0,0396 0,0750 0,3 Mg#2 -0,3635 0,0630 -0,0372 -0,0472 0,5711 0,0027 0,5186 -0,3941 0,3 Mg#3 -0,3438 0,0870 -0,0163 -0,0287 0,5938 0,0206 0,5349 -0,3974 <td< td=""><td>W#16</td><td>-0,3906</td><td></td><td></td><td>-0,3586</td><td></td><td>-0,3445</td><td></td><td></td><td>0,7209</td></td<>	W#16	-0,3906			-0,3586		-0,3445			0,7209	
Ca#1 0,1031 0,2765 0,0323 0,2972 -0,0530 0,0259 -0,1150 0,3789 -0,5 Sb#2 -0,8805 0,8926 -0,9136 0,9272 -0,5626 0,8230 -0,6856 0,8898 -0,7 Te#2 -0,4661 0,3820 -0,7178 0,4866 -0,9062 0,6367 -0,8956 0,6794 -0,4 Ce#3 -0,0661 0,0066 0,1514 -0,0434 0,4981 -0,3485 0,4417 -0,0968 0,0 La#1 -0,7779 0,1190 -0,5680 0,1088 -0,0225 0,1059 -0,0396 0,0750 0,3 Mg#2 -0,3635 0,0630 -0,0372 -0,0472 0,5711 0,0027 0,5186 -0,3941 0,3 Mg#3 -0,3438 0,0870 -0,0163 -0,0287 0,5938 0,0206 0,5349 -0,3974 0,3 Zn#2 -0,5087 0,2840 -0,7426 0,4266 -0,9173 0,3278 -0,9007 0,8329 <t< td=""><td></td><td>-0,0769</td><td></td><td></td><td></td><td></td><td></td><td></td><td></td><td>-0,5398</td></t<>		-0,0769								-0,5398	
Sb#2 -0,8805 0,8926 -0,9136 0,9272 -0,5626 0,8230 -0,6856 0,8898 -0,7 Te#2 -0,4661 0,3820 -0,7178 0,4866 -0,9062 0,6367 -0,8956 0,6794 -0,4 Ce#3 -0,0661 0,0066 0,1514 -0,0434 0,4981 -0,3485 0,4417 -0,0968 0,0 La#1 -0,7779 0,1190 -0,5680 0,1088 -0,0225 0,1059 -0,0396 0,0750 0,3 Mg#2 -0,3635 0,0630 -0,0372 -0,0472 0,5711 0,0027 0,5186 -0,3941 0,3 Mg#3 -0,3438 0,0870 -0,0163 -0,0287 0,5938 0,0206 0,5349 -0,3974 0,3 Zn#2 -0,5087 0,2840 -0,7426 0,4266 -0,9173 0,3278 -0,9007 0,8329 -0,4 N#1 -0,5897 0,1528 -0,3227 0,1217 0,2642 -0,1300 0,2042 0,0902 <t< td=""><td>Zr#1</td><td>0,6009</td><td></td><td></td><td>0,1948</td><td></td><td></td><td></td><td>0,0797</td><td>-0,5690</td></t<>	Zr#1	0,6009			0,1948				0,0797	-0,5690	
Te#2 -0,4661 0,3820 -0,7178 0,4866 -0,9062 0,6367 -0,8956 0,6794 -0,4 Ce#3 -0,0661 0,0066 0,1514 -0,0434 0,4981 -0,3485 0,4417 -0,0968 0,0 La#1 -0,7779 0,1190 -0,5680 0,1088 -0,0225 0,1059 -0,0396 0,0750 0,3 Mg#2 -0,3635 0,0630 -0,0372 -0,0472 0,5711 0,0027 0,5186 -0,3941 0,3 Mg#3 -0,3438 0,0870 -0,0163 -0,0287 0,5938 0,0206 0,5349 -0,3974 0,3 Zn#2 -0,5087 0,2840 -0,7426 0,4266 -0,9173 0,3278 -0,9007 0,8329 -0,4 N#1 -0,5897 0,1528 -0,3227 0,1217 0,2642 -0,1300 0,2042 0,0902 0,1	Ca#1	0,1031	0,2765	0,0323	0,2972		0,0259	-0,1150	0,3789	-0,5185	
Ce#3 -0,0661 0,0066 0,1514 -0,0434 0,4981 -0,3485 0,4417 -0,0968 0,0 La#1 -0,7779 0,1190 -0,5680 0,1088 -0,0225 0,1059 -0,0396 0,0750 0,3 Mg#2 -0,3635 0,0630 -0,0372 -0,0472 0,5711 0,0027 0,5186 -0,3941 0,3 Mg#3 -0,3438 0,0870 -0,0163 -0,0287 0,5938 0,0206 0,5349 -0,3974 0,3 Zn#2 -0,5087 0,2840 -0,7426 0,4266 -0,9173 0,3278 -0,9007 0,8329 -0,4 N#1 -0,5897 0,1528 -0,3227 0,1217 0,2642 -0,1300 0,2042 0,0902 0,1	Sb#2	-0,8805	0,8926	-0,9136	0,9272		0,8230	-0,6856	0,8898	-0,7217	
La#1 -0,7779 0,1190 -0,5680 0,1088 -0,0225 0,1059 -0,0396 0,0750 0,3 Mg#2 -0,3635 0,0630 -0,0372 -0,0472 0,5711 0,0027 0,5186 -0,3941 0,3 Mg#3 -0,3438 0,0870 -0,0163 -0,0287 0,5938 0,0206 0,5349 -0,3974 0,3 Zn#2 -0,5087 0,2840 -0,7426 0,4266 -0,9173 0,3278 -0,9007 0,8329 -0,4 N#1 -0,5897 0,1528 -0,3227 0,1217 0,2642 -0,1300 0,2042 0,0902 0,1	Te#2	-0,4661						-0,8956	0,6794	-0,4176	
Mg#2 -0,3635 0,0630 -0,0372 -0,0472 0,5711 0,0027 0,5186 -0,3941 0,3 Mg#3 -0,3438 0,0870 -0,0163 -0,0287 0,5938 0,0206 0,5349 -0,3974 0,3 Zn#2 -0,5087 0,2840 -0,7426 0,4266 -0,9173 0,3278 -0,9007 0,8329 -0,4 N#1 -0,5897 0,1528 -0,3227 0,1217 0,2642 -0,1300 0,2042 0,0902 0,1	Ce#3	-0,0661	0,0066		-0,0434				-0,0968	0,0737	
Mg#3 -0,3438 0,0870 -0,0163 -0,0287 0,5938 0,0206 0,5349 -0,3974 0,3 Zn#2 -0,5087 0,2840 -0,7426 0,4266 -0,9173 0,3278 -0,9007 0,8329 -0,4 N#1 -0,5897 0,1528 -0,3227 0,1217 0,2642 -0,1300 0,2042 0,0902 0,1	La#1	-0,7779								0,3215	
Zn#2	Mg#2	-0,3635	0,0630	-0,0372	-0,0472		0,0027	0,5186	-0,3941	0,3937	
N#1 -0,5897 0,1528 -0,3227 0,1217 0,2642 -0,1300 0,2042 0,0902 0,1		-0,3438								0,3644	
	Zn#2	-0,5087	0,2840	-0,7426	0,4266	-0,9173	0,3278	-0,9007	0,8329	-0,4137	
N#2 -0,2646 -0,3896 -0,3732 -0,2598 -0,5521 -0,3328 -0,4389 0,2426 0,3	N#1	-0,5897	0,1528	-0,3227	0,1217	0,2642	-0,1300	0,2042	0,0902	0,1606	
	N#2	-0,2646	-0,3896	-0,3732	-0,2598	-0,5521	-0,3328	-0,4389	0,2426	0,3311	
Legend:	Loc	ond.									

Legend:

0 – 0.3 weak correlation – red color,

0.3 – 0.5 moderate correlation – orange color, 0.5 – 0.7 strong correlation – yellow color,

0.7 - 1 very strong correlation - green color.

Example analysis for sample RG 14/531

REFERENCES

- 1. J. Paradysz, Statystyka, Wydawnictwo Akademii Ekonomicznej w Poznaniu, Poznań 2004 r.,
- 2. W. Szczepaniak, Metody instrumentalne w analizie chemicznej, Wydawnictwo Naukowe PWN, Warszawa 2007 r,
- 3. M. Wieczorowski, Teoretyczne podstawy przestrzennej analizy nierówności powierzchni, Inżynieria Maszyn, 2013,
- 4. A. Dera, Charakterystyka wypaleń spektrometrem w stopach stali, praca dyplomowa magisterska, Wydział Politechniczny Akademii Kaliskiej, Kalisz 2021 r.

CONTACT

Adrian Dera, MSc, Eng., Department of Mechanics and Mechanical Engineering, Polytechnic Faculty, President Stanislaw Wojciechowski University of Kalisz, pl. W. Bogusławskiego 2, 62-800 Kalisz, Poland, e-mail: a.dera@uniwersytetkaliski.edu.pl

Szymon Witczak, MSc, Eng., Department of Mechanics and Mechanical Engineering, Polytechnic Faculty, President Stanislaw Wojciechowski University of Kalisz, pl. W. Bogusławskiego 2, 62-800 Kalisz, Poland, e-mail: s.witczak@uniwersytetkaliski.edu.pl





